

FIG. 1

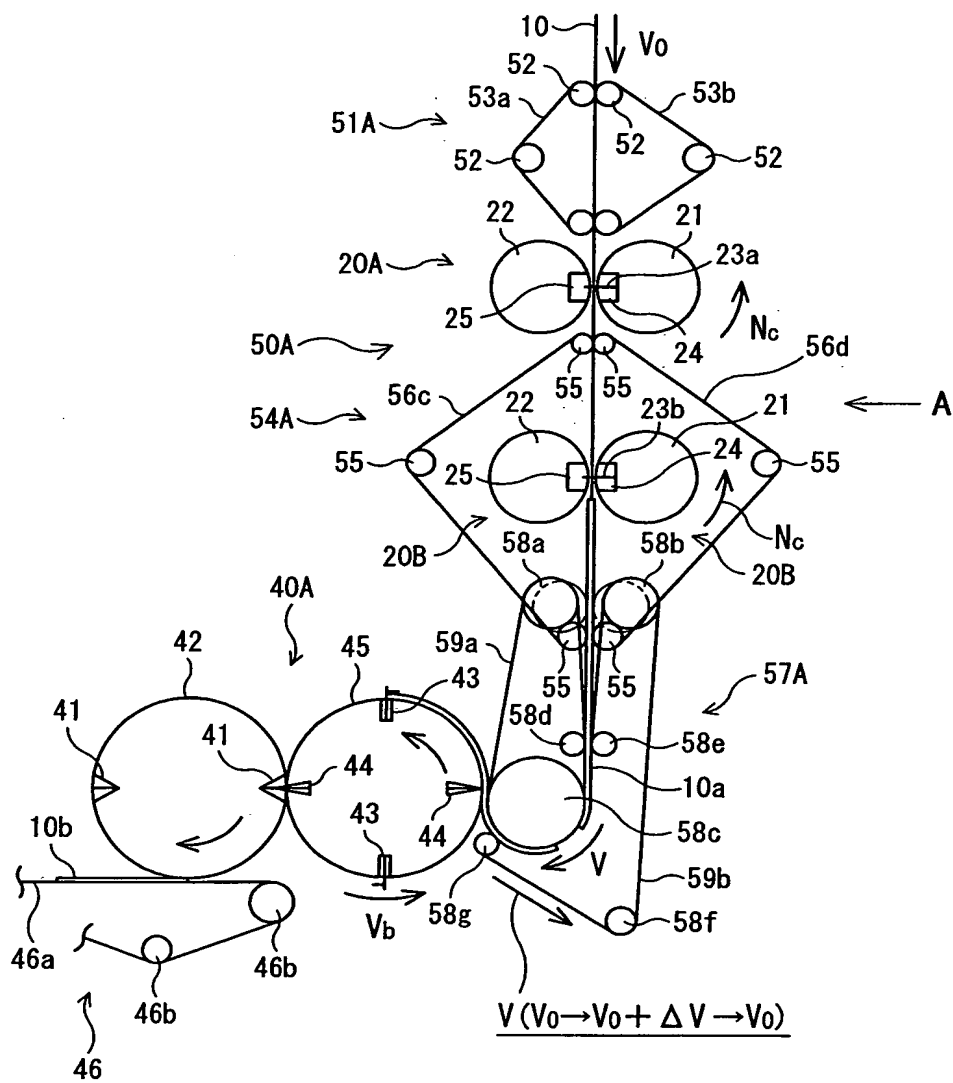


FIG. 2

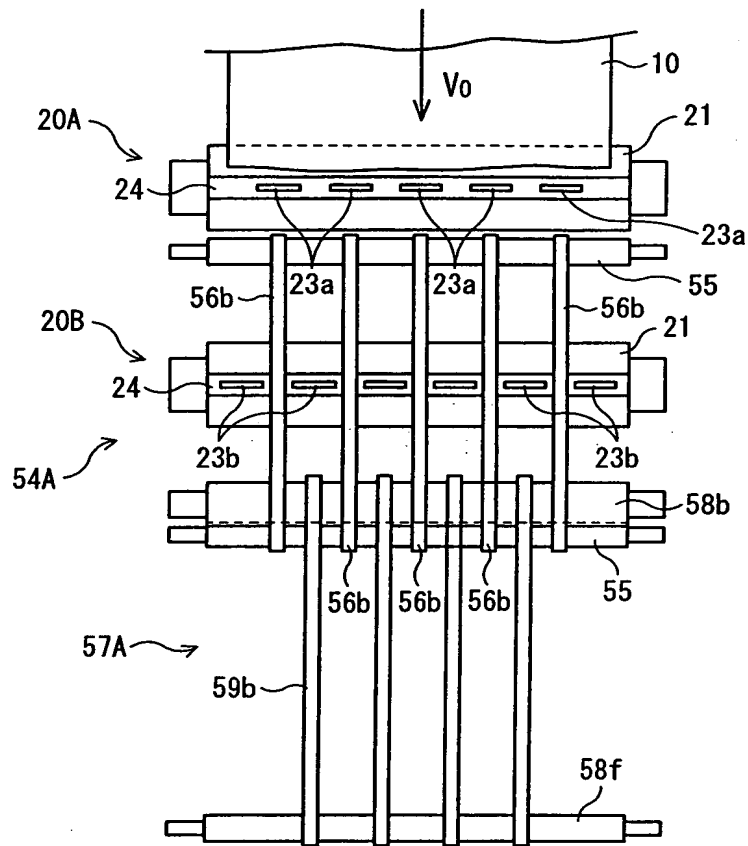
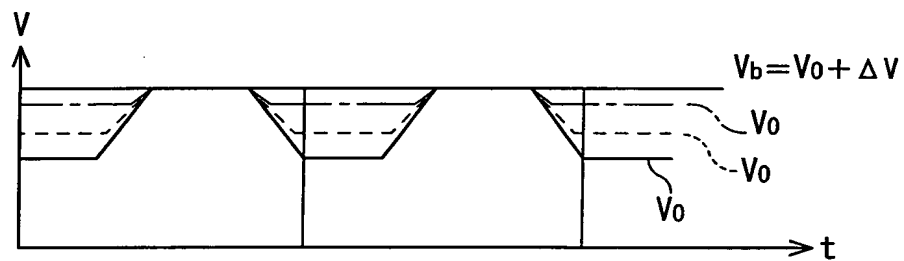


FIG. 3



CONTROL OF SPEED CHANGE BELTS

( $V$  : BELT SPEED)  
( $t$  : TIME)

FIG. 4

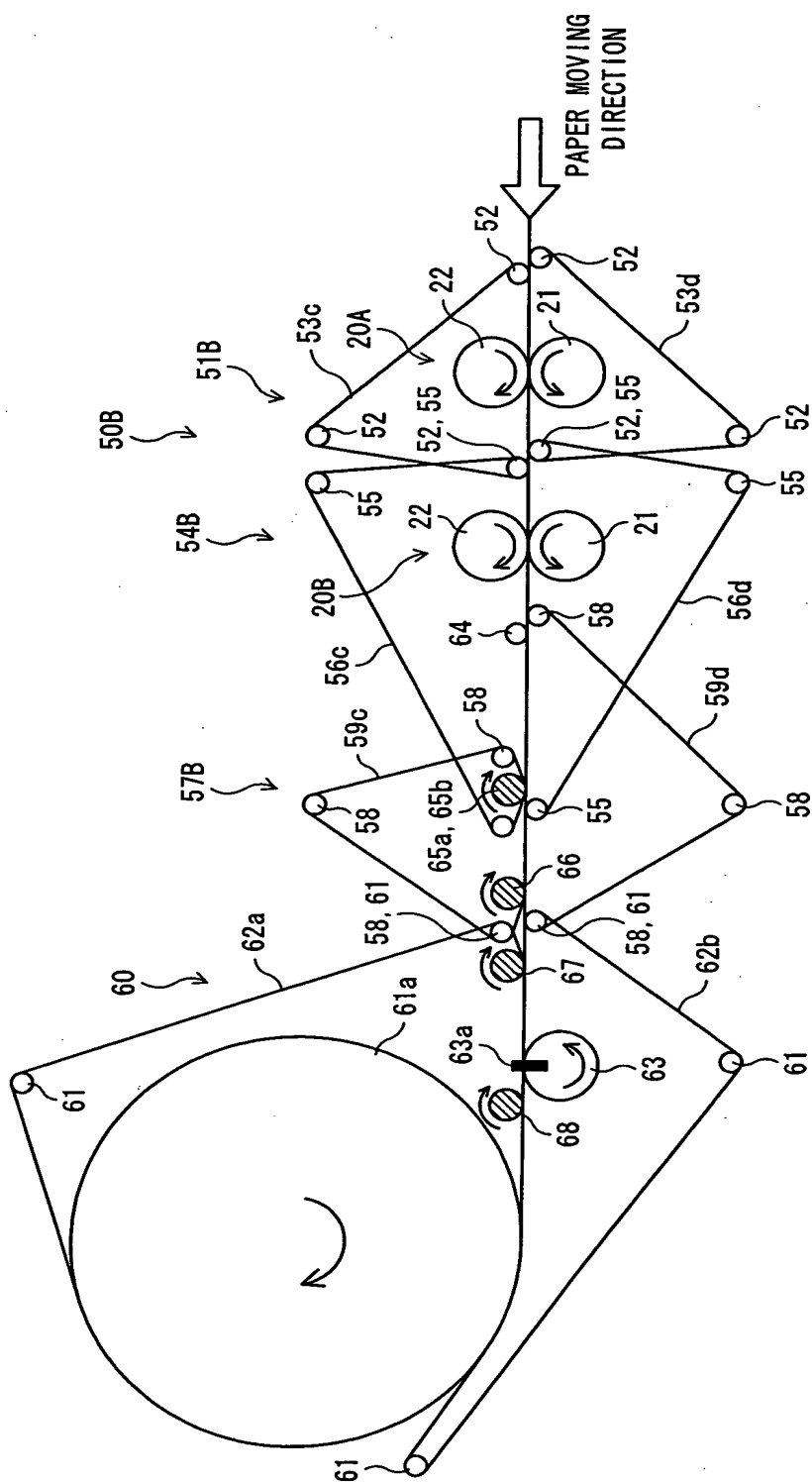


FIG. 5

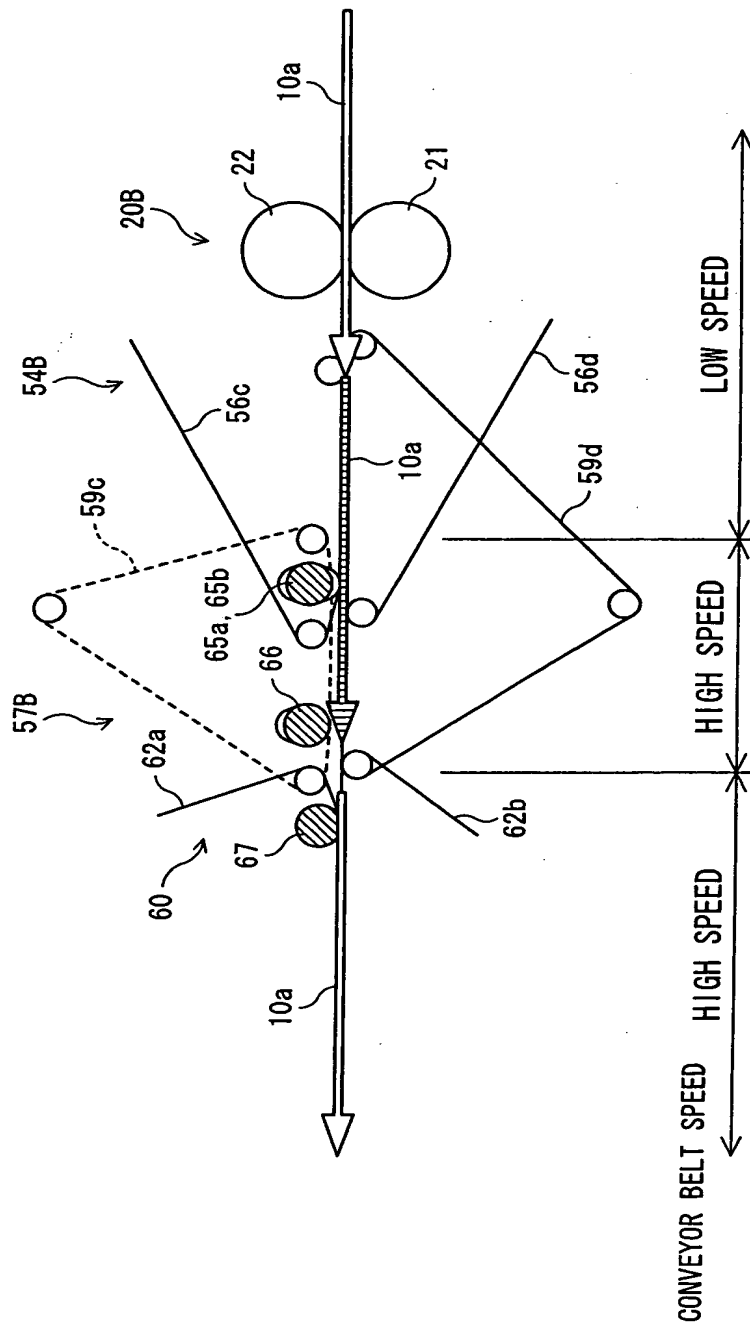


FIG. 6

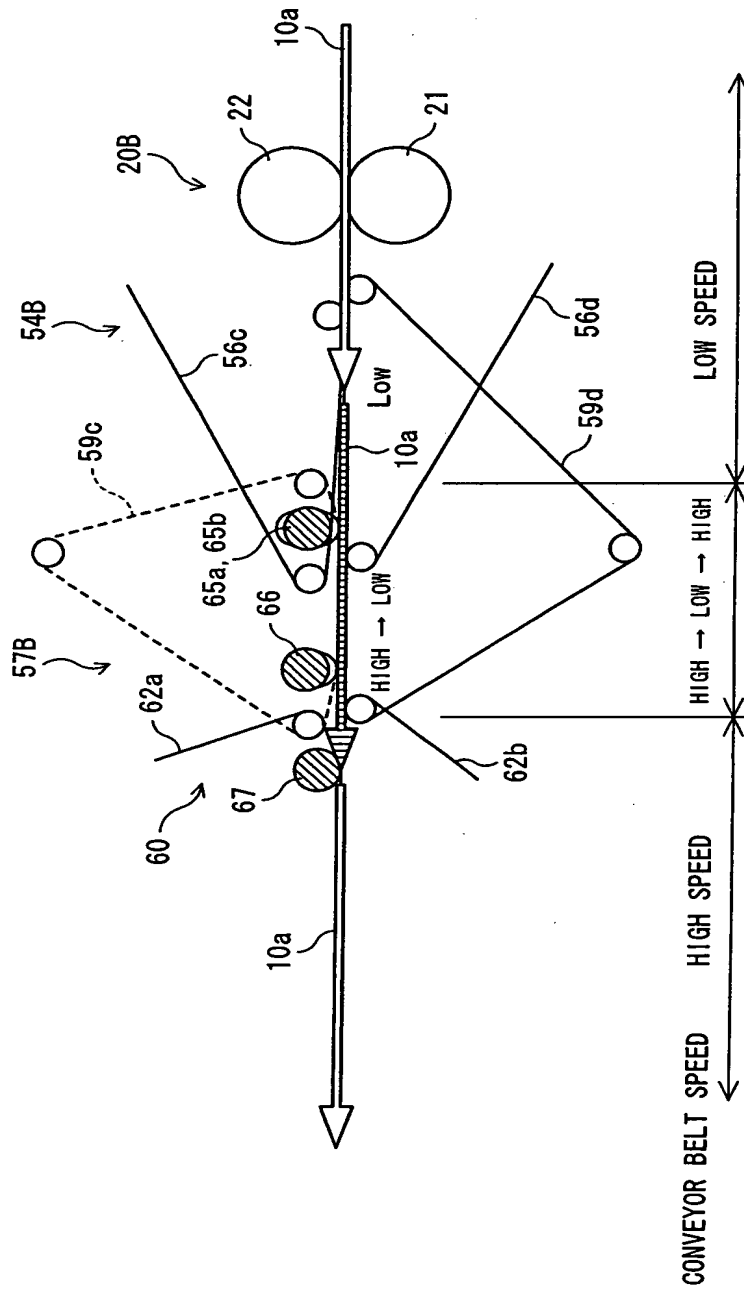


FIG. 7

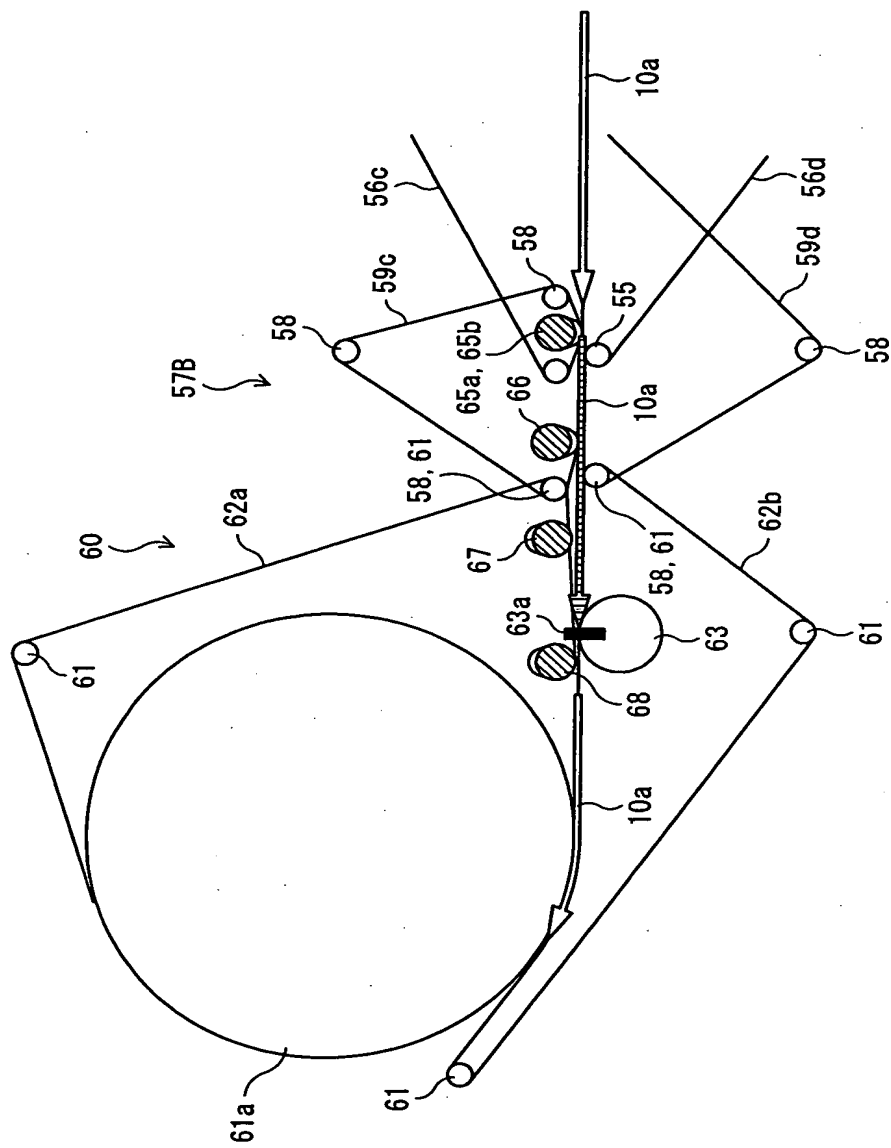


FIG. 8

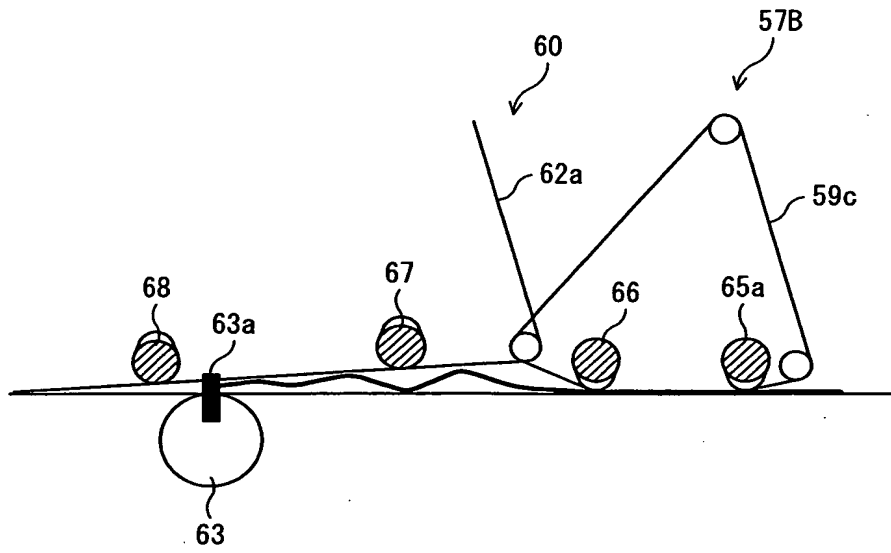


FIG. 9

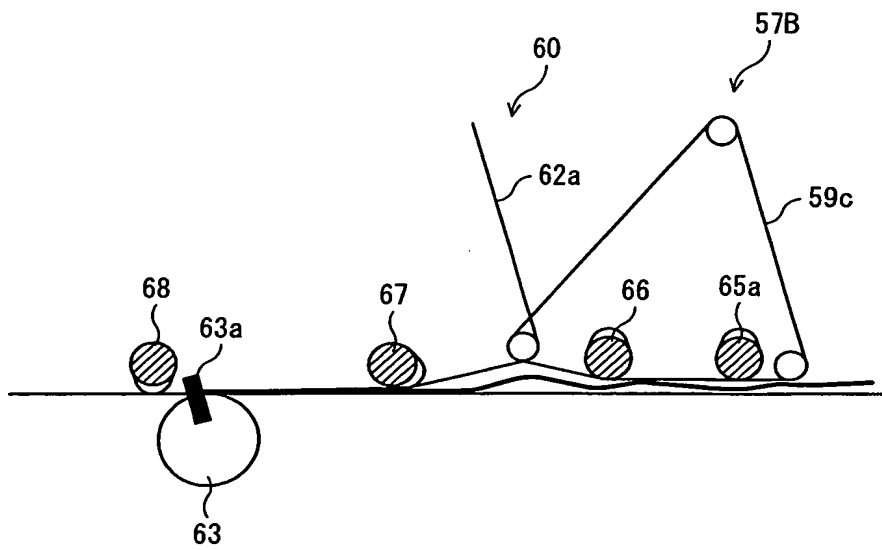


FIG. 10(a)

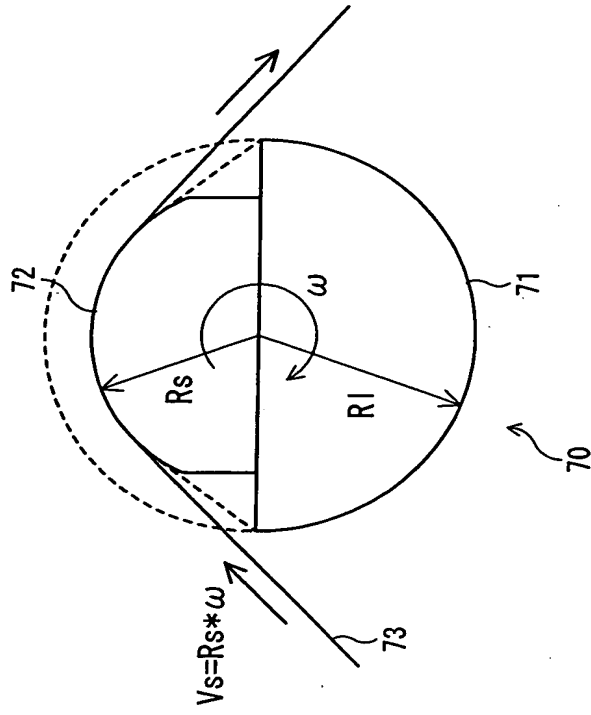


FIG. 10(b)

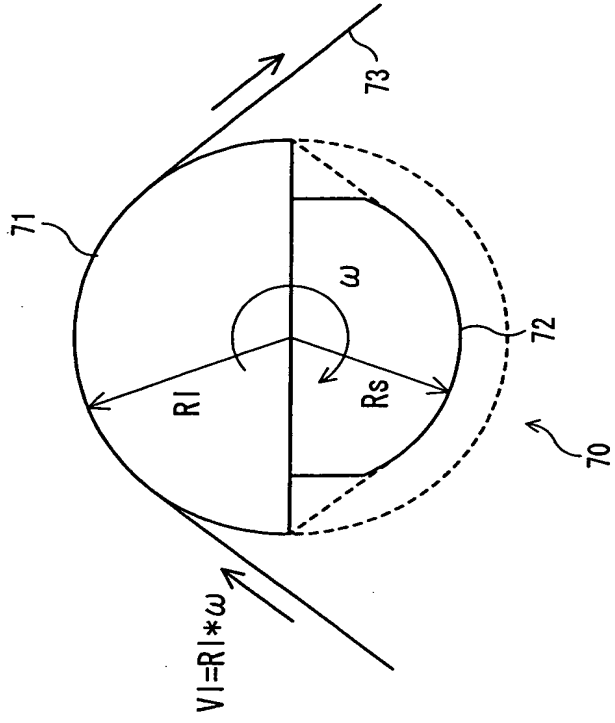
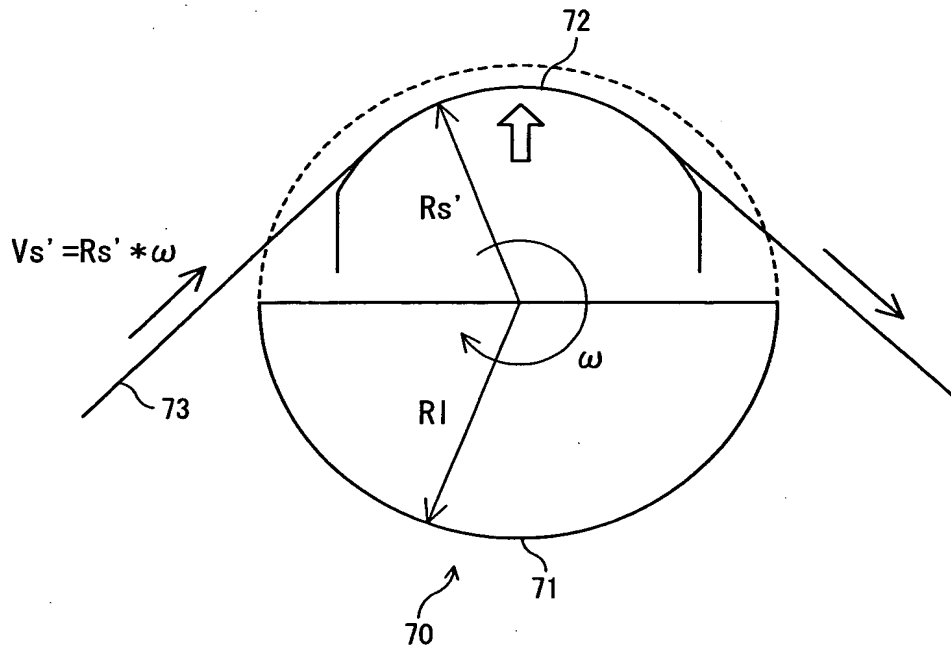




FIG. 11



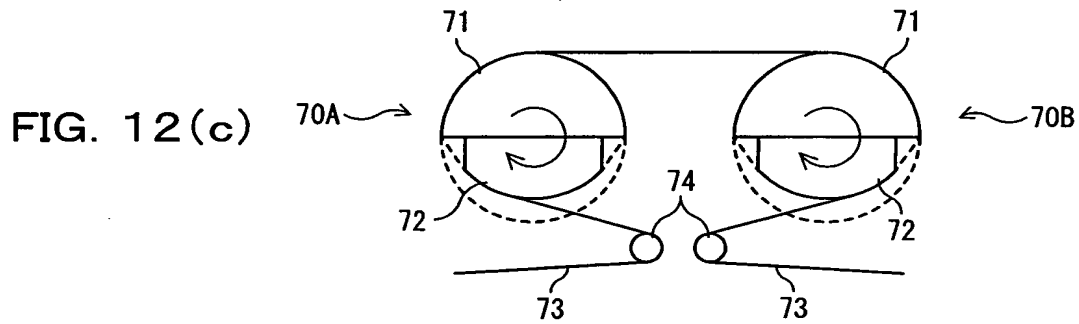
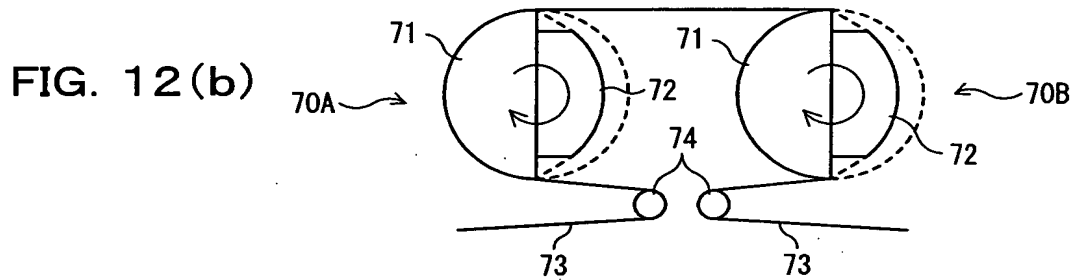
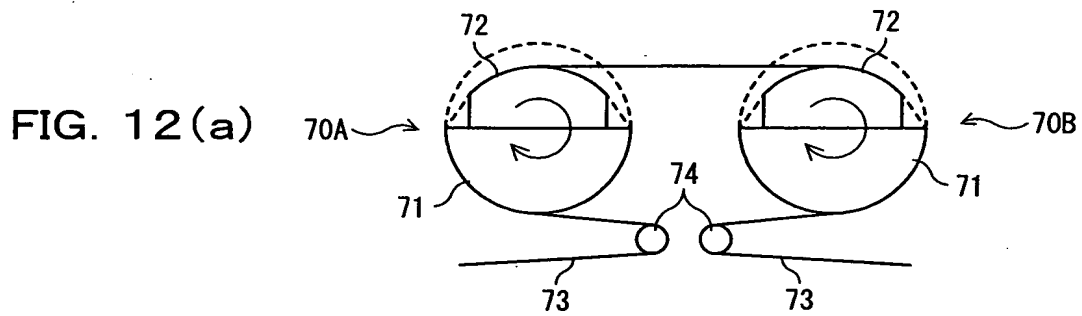
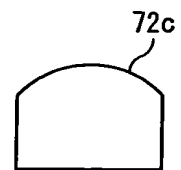
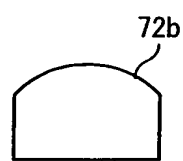
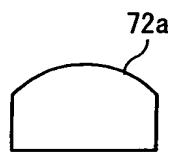
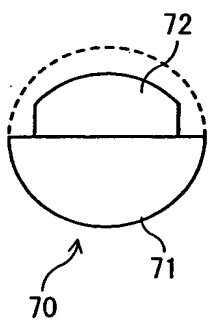


FIG. 13(a)      FIG. 13(b)      FIG. 13(c)      FIG. 13(d)



INTERCHANGEABLE  
SMALL-RADIUS BLOCKS

FIG. 14

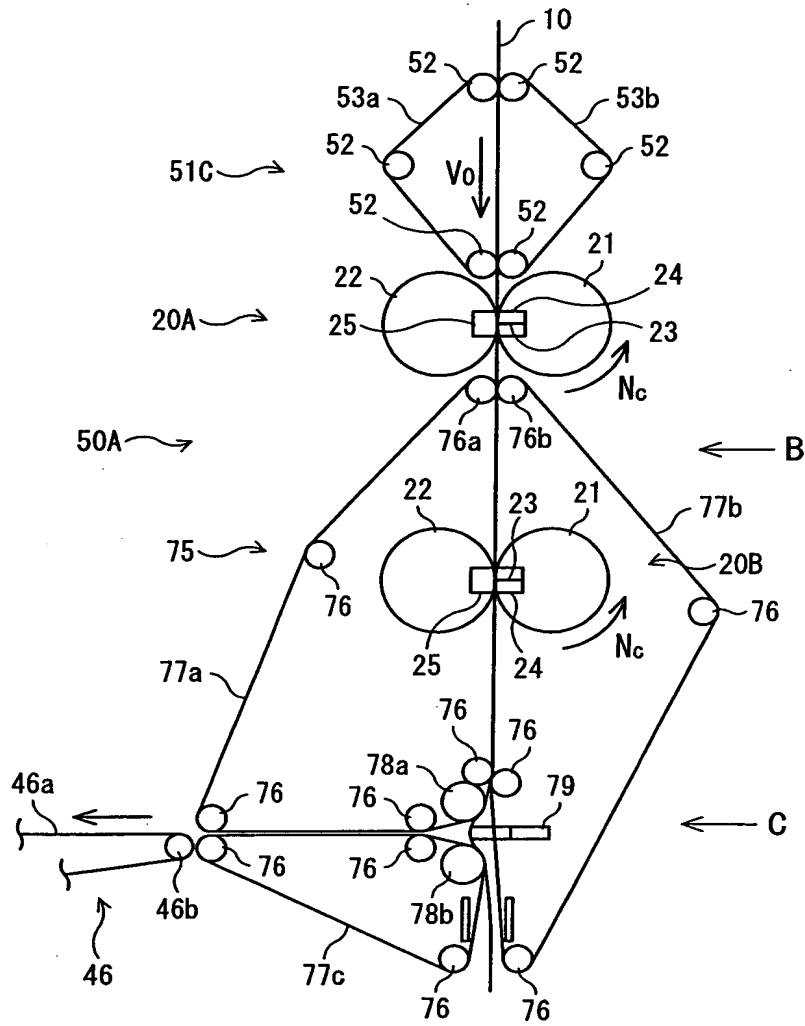


FIG. 15

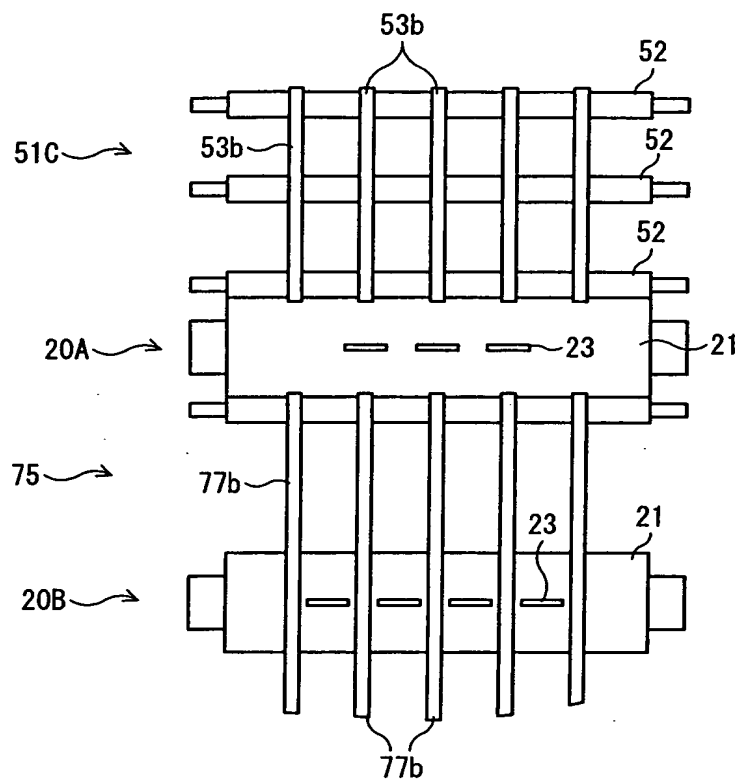


FIG. 16

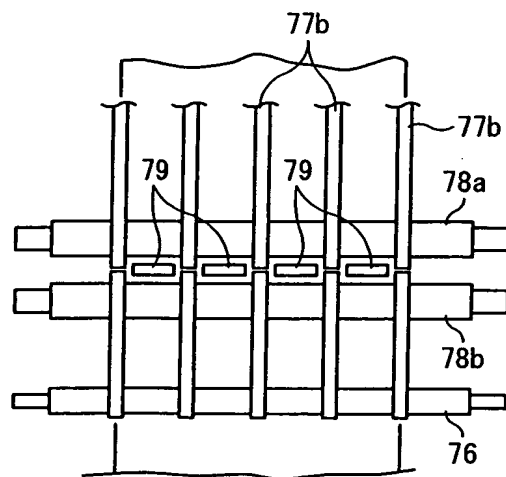


FIG. 17

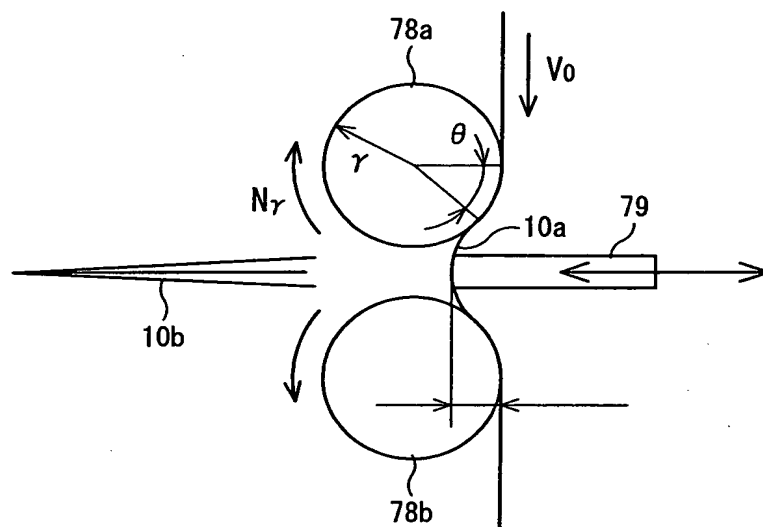


FIG. 18(a)

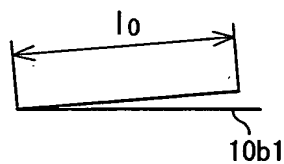


FIG. 18(b)

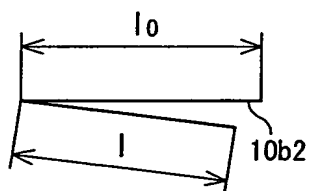


FIG. 18(c)



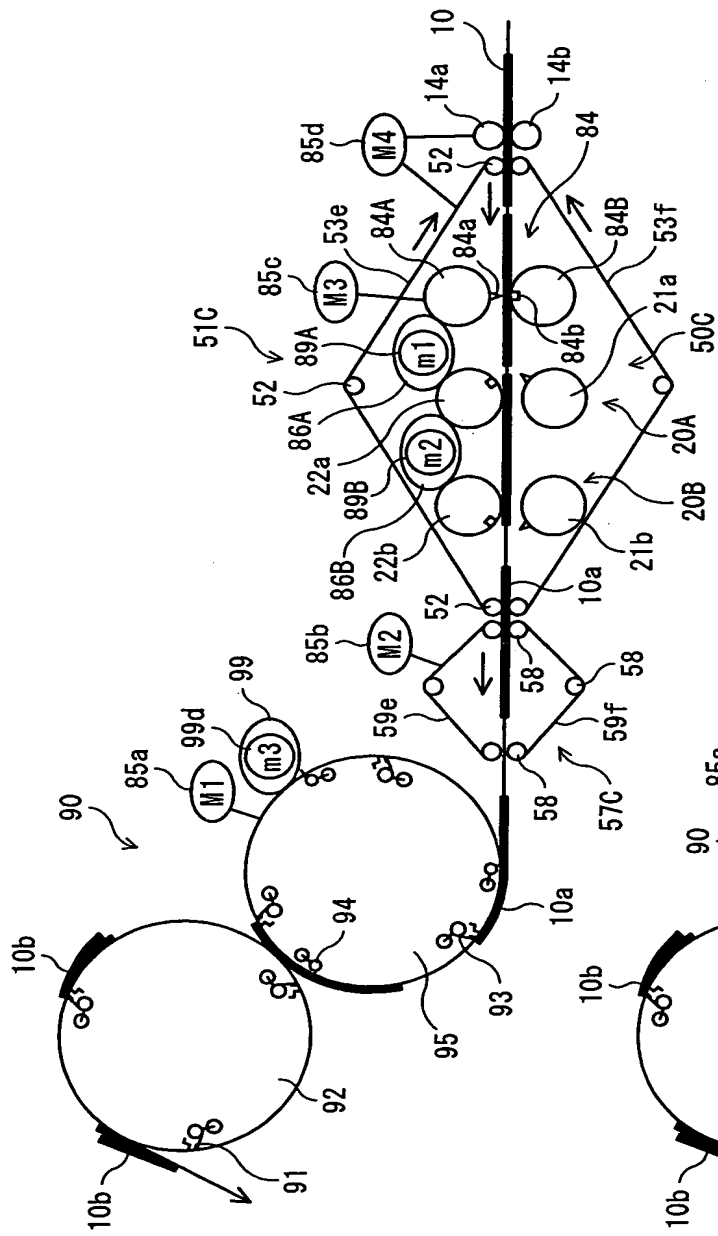


FIG. 19(a)

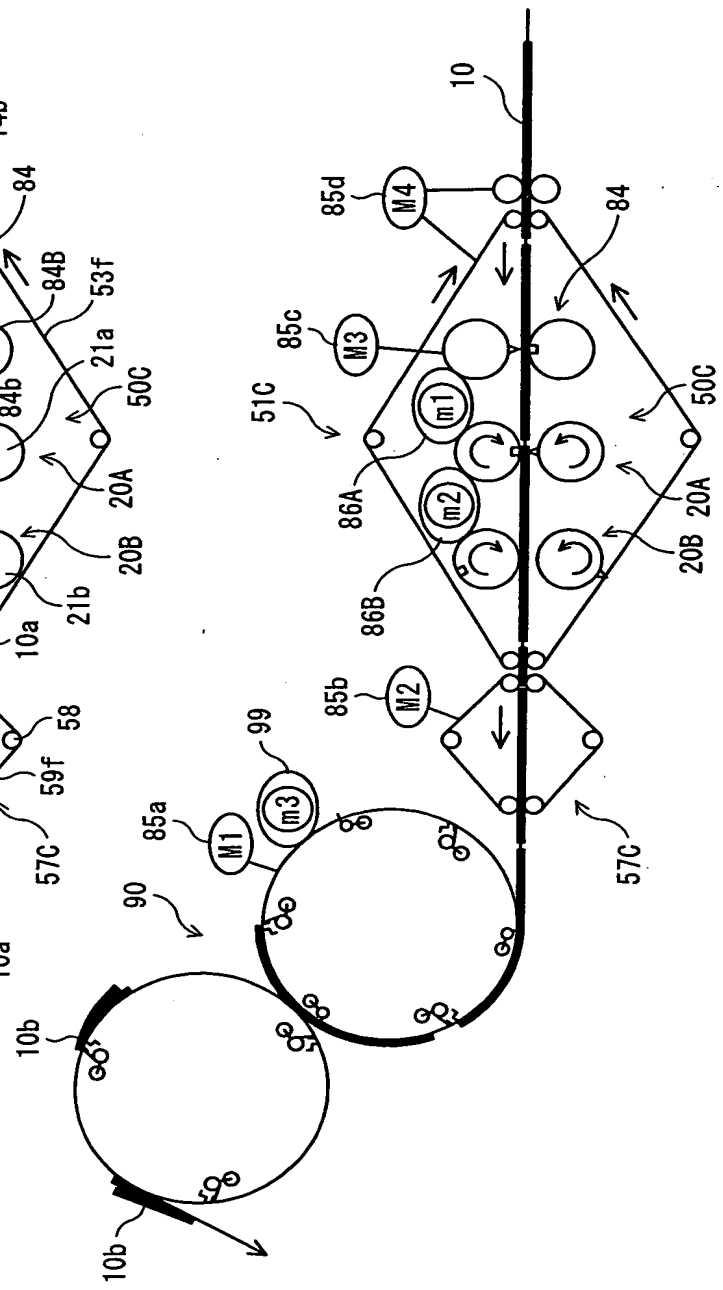


FIG. 19(b)

FIG. 20

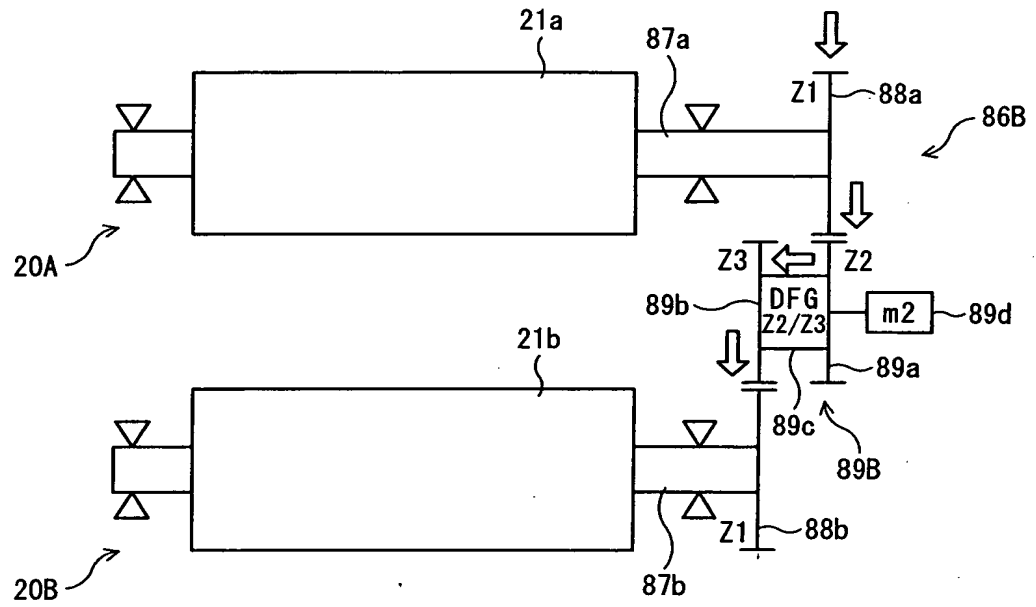






FIG. 22

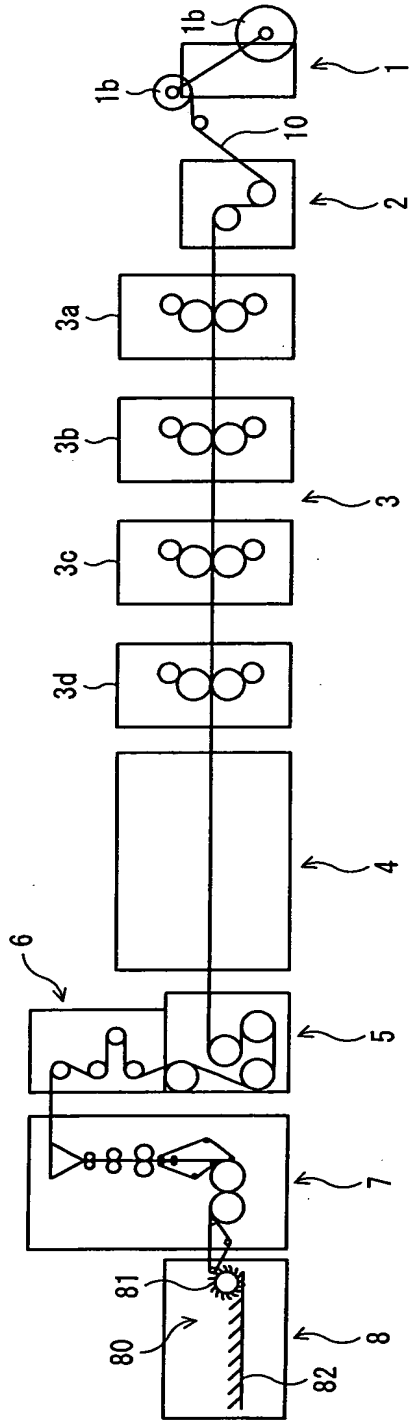


FIG. 23

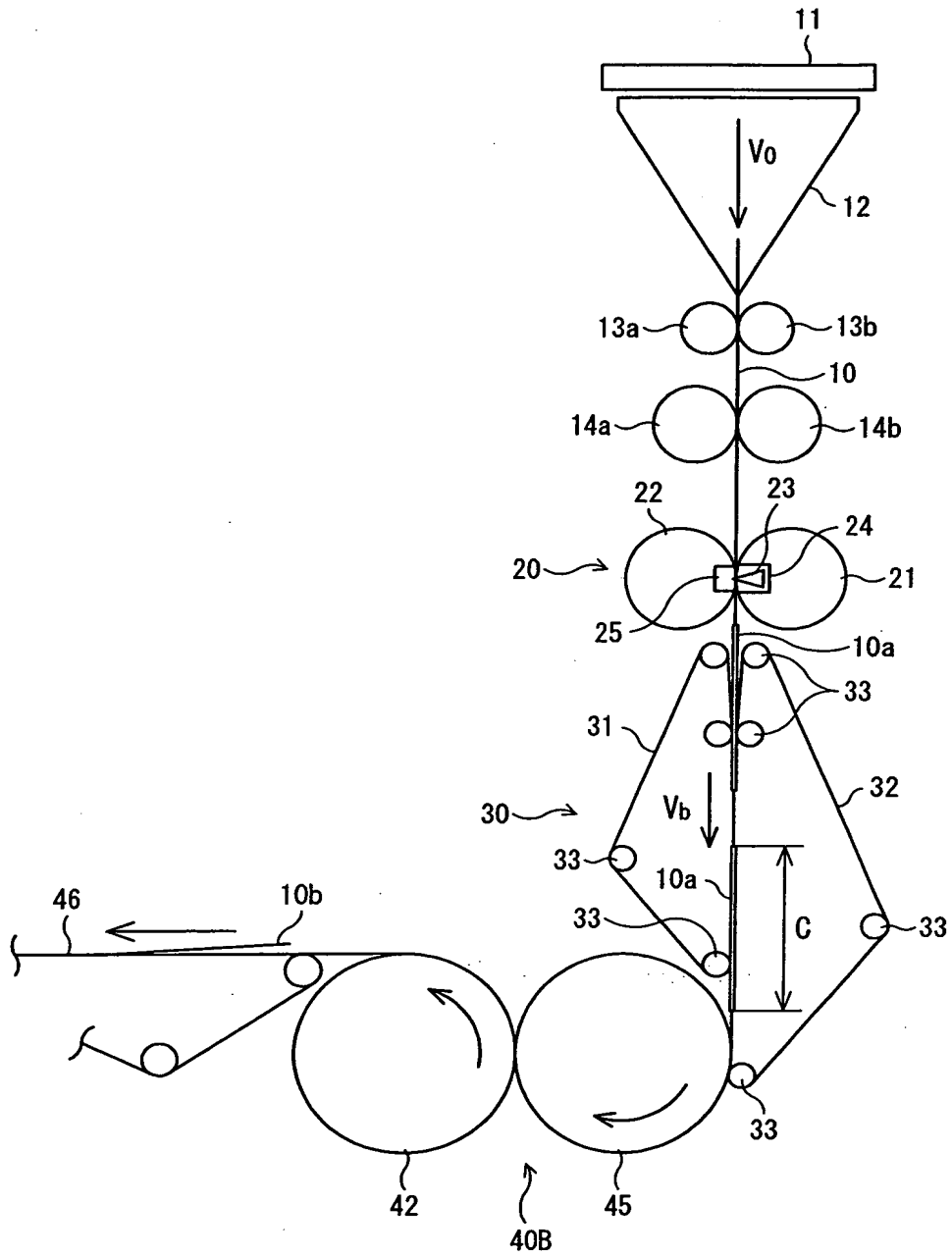


FIG. 24

